МИНИСТЕРСТВО ОБРАЗОВАНИЯ И НАУКИ РОССИЙСКОЙ ФЕДЕРАЦИИ федеральное государственное бюджетное образовательное учреждение высшего образования

«Тольяттинский государственный университет»

ИНСТИТУТ ХИМИИ И ИНЖЕНЕРНОЙ ЭКОЛОГИИ

(институт)

<u>Химия, химические процессы и технологии</u> (кафедра)

020100.62 «Химия»

(код и наименование направления подготовки, специальности)

«Медицинская и фармацевтическая химия»

(наименование профиля, специализации)

БАКАЛАВРСКАЯ РАБОТА

на тему «ИДЕНТИФИКАЦИЯ ПРОДУКТОВ РЕАКЦИИ 2-МЕРКАПТОБЕНЗАЗОЛОВ С ЕНИНОВЫМИ КЕТОНАМИ»

Студент(ка)	К.С.Федорась	
•	(И.О. Фамилия)	(личная подпись)
Руководитель	О.Б.Григорьева	
•	(И.О. Фамилия)	(личная подпись)
Допустить к защите		
Заведующий кафедро	ой, д.х.н, профессор Г.И. Остапенко	
-	(ученая степень, звание, И.О. Фамилия)	(личная подпись)
«»_	2016г.	

Тольятти 2016 г.

МИНИСТЕРСТВО ОБРАЗОВАНИЯ И НАУКИ РОССИЙСКОЙ ФЕДЕРАЦИИ ФЕДЕРАЛЬНОЕ ГОСУДАРСТВЕННОЕ БЮДЖЕТНОЕ ОБРАЗОВАТЕЛЬНОЕ УЧРЕЖДЕНИЕ ВЫСШЕГО ОБРАЗОВАНИЯ «ТОЛЬЯТТИНСКИЙ ГОСУДАРСТВЕННЫЙ УНИВЕРСИТЕТ»

ИНСТИТУТ ХИМИИ И ИНЖЕНЕРНОЙ ЭКОЛОГИИ

(институт)

Химия, химические процессы и технологии (кафедра)

			Остапенко Г.И.
	<u>«_</u>		20Γ.
ЗАД на выполнение Ба	АНИЕ калаврской	работы	[
Студенту Федорась Кристине Сергеев	вне.		
1. Тема «Идентификация продукт	ов реакции	2-мері	каптобензазолов с
ениновыми кетонами»			
2. Срок сдачи студентом законченной	і́ выпускной н	свалифи	кационной работы
<u>июнь 2016</u>			
3. Исходные данные к выпускной кв	залификацион	ной раб	боте <u>литература по</u>
теме исследования			
4. Содержание выпускной квалифика	ционной рабо	ты (пер	ечень подлежащих
разработке вопросов, разделов) Введ	ение, литерат	урный	обзор, обсуждение
результатов, экспериментальная часть	, заключение.	списов	питературы.
5. Ориентировочный перечень графи	ического и ил	люстра	тивного материала
презентация			
6. Консультанты по разделам не пред	усмотрены		
7. Дата выдачи задания « »			
Руководитель выпускной квалификационной работы			Григорьева О.Б
-	(подпись	<u>,)</u>	(И.О. Фамилия)
Задание принял к исполнению			Федорась К.С.

(подпись)

(И.О. Фамилия)

УТВЕРЖДАЮ

Заведующий кафедрой

МИНИСТЕРСТВО ОБРАЗОВАНИЯ И НАУКИ РОССИЙСКОЙ ФЕДЕРАЦИИ ФЕДЕРАЛЬНОЕ ГОСУДАРСТВЕННОЕ БЮДЖЕТНОЕ ОБРАЗОВАТЕЛЬНОЕ УЧРЕЖДЕНИЕ ВЫСШЕГО ОБРАЗОВАНИЯ «ТОЛЬЯТТИНСКИЙ ГОСУДАРСТВЕННЫЙ УНИВЕРСИТЕТ»

ИНСТИТУТ ХИМИИ И ИНЖЕНЕРНОЙ ЭКОЛОГИИ

(институт)

<u>Химия, химические процессы и технологии</u> (кафедра)

УТ	ВЕРЖДА	ΑЮ	
Зав	ведующий	і кафедрой	
		Остапен	ко Г.И
«	>>		Γ.

КАЛЕНДАРНЫЙ ПЛАН Бакалаврской работы

Студента: Федорась Кристины Сергеевны

по теме: Идентификация продуктов реакции 2-меркаптобензазолов с

ениновыми кетонами

Наименование раздела работы	Плановый срок выполнения раздела	Фактический срок выполнения раздела	Отметка о выполнении	Подпись руководителя
Подбор				
литературных				
источников и	1.7.0.1.0.1.1			
написание раздела	15.04.2016	15.04.2016	выполнено	
«Литературный				
обзор»				
Выполнение				
экспериментальной	14.05.2016	14.05.2016	выполнено	
части работы				
Написание раздела				
«Экспериментальная	25.05.2016	25.05.2016	выполнено	
часть»				

Написание разделов				
«Результаты и				
обсуждения»,				
«Введение»	30.05.2016	30.05.2016 выполнено	2016 выполнено	
«Заключение»,	2 3732 12 3 1 3			
«Литература»				
Верстка работы,				
проверка ВКР				
научным	1.06.2016 1.0	1.06.2016 выполнено		
руководителем				
Проверка ВКР в				
системе	17.06.2016	17.06.2016 27.06.2016	выполнено	
«Антиплагиат.ВУЗ»		27.00.2010		
Оформление				
демонстрационного	04.04.004.5			
материала и устного	21.06.2016	21.06.2016	21.06.2016 выполнено	
доклада				

Руководитель выпускной квалификационной работы	(подпись)	О.Б.Григорьева (И.О. Фамилия)
Задание принял к исполнению	(подпись)	К.С.Федорась (И.О. Фамилия)

КИЦАТОННА

Бакалаврская работа изложена на 54 страницах, содержит 16 рисунков, 1 таблицу, приложения, использовано 54 литературных источника.

Объект исследования – реакция 2-меркаптобензтиазола с 1,5динезамещенным (Е)-пент-2-ен-4-ин-1-онам.

Цель работы — проведение реакции 2-меркаптабензазолов с ениновыми кетонами под хроматографическим контролем в присутствии и отсутствии катализатора, обнаружение продуктов реакции и их последующей идентификации.

В литературном обзоре изложены особенности строения и реакционная способность винилацетиленовых кетонов, конденсированных азот- и серосодержащих гетероциклических систем, анализируются возможности ВЭЖХ в контроле за реакциями органического синтеза.

В разделе «Экспериментальная часть» приведены методики проводимого синтеза, хроматографического эксперимента, условия снятия ИК- и масс-спектров.

В разделе «Результаты обсуждение» ИХ изложены И проанализированы проведенного результаты исследования. Хроматографическим методом установлено, что помимо основного продукта – фуранового производного – в реакционной смеси образуются еще 3 соединения, один из которых обратимо связан с продуктом. Показано, что катализатор влияет на скорость образование продукта, но не влияет на качественный состав промежуточных или побочных соединений.

СОДЕРЖАНИЕ

В	ВЕДЕНИЕ	8
1.	ЛИТЕРАТУРНЫЙ ОБЗОР	9
	1.1. Винилацетиленовые кетоны	9
	1.1.1. Особенности строения винилацетиленовых кетонов	. 10
	1.1.2. Реакционная способность и химические свойс	тва
	винилацетиленовых кетонов	. 11
	1.2. Азот- и серосодержащие конденсированные системы	. 14
	1.2.1. Особенности строения	. 15
	1.2.2. Реакционная способность и химические свойства	. 16
	1.3. Реакция 2-меркаптобензотиазола и винилацетиленовых кетонов	. 19
	1.4. Хроматография и контроль химических реакций	. 20
	1.4.1. Идентификация продуктов и промежуточных соединений	. 21
	1.4.2. Исследования кинетики реакций методом ВЭЖХ	. 24
	1.5. Другие методы анализа	. 28
_		
2.	ЭКСПЕРИМЕНТАЛЬНАЯ ЧАСТЬ	
	2.1. Реагенты и оборудование	
	2.2. Методика ВЭЖХ-эксперимента	
	2.3. Съемка ИК-спектра	. 32
	2.4. Условия хромато-масс-спектрометрического исследования	. 32
	2.5. Общая методика получение замещенных фуранов	
	меркаптобензазолов	. 33
	2.6.Методика приготовления реакционной смеси для хроматографическо	ОГО
	исследования	. 33
	2.6.1. Реакционная смесь без катализатора	. 33
	2.6.2. Реакционная смесь с катализатором	. 33
	2.7. Препаративное хроматографическое выделение промежуточн	ιых
	соединений	. 33

3. ОБСУЖДЕНИЕ РЕЗУЛЬТАТОВ	34
ЗАКЛЮЧЕНИЕ	46
ЛИТЕРАТУРА	47
ПРИЛОЖЕНИЯ А	53
ПРИЛОЖЕНИЯ В	54

ВВЕДЕНИЕ

В ходе химического синтеза органических соединений, кроме целевого продукта возможно образование и других веществ. Это могут быть как промежуточные (переходные) продукты, так и побочные соединения с различной долей выхода. Такие соединения иногда могут представлять и самостоятельный интерес, но чаще информация о них позволяет предположить механизм протекания химической реакции.

Одним из эффективных методов контроля над ходом химической реакции, позволяющим провести как качественный, так и количественный анализ, является метод высокоэффективной жидкостной хроматографии (ВЭЖХ).

Целью нашей работы было проведение синтеза 2-меркаптабензазолов с ениновыми кетонами под хроматографическим контролем в присутствии и отсутствии катализатора, обнаружение продуктов реакции и их последующей идентификации.

В задачи работы входило:

- 1. Осуществить синтез с участием и без участия катализатора
- 2. Снять хроматограммы проб реакционной смеси через определенные промежутки времени
- 3. Зафиксировать образующиеся продукты и отследить изменение их концентрации во времени
- 4. Препаративным путем собрать образцы, образующихся продуктов. Провести их идентификацию с использованием ИК- и хромато-масс-спектрометрии и метода ЯМР.
- 5. Проанализировать полученные результаты.

1.ЛИТЕРАТУРНЫЙ ОБЗОР

1.1. Винилацетиленовые кетоны

В органической химии большой интерес исследователей вызывают вещества, обладающие биологической активностью. Однако соединений, принадлежащих лишь к одному классу веществ и имеющих искомые свойства не так много. Поэтому в большинстве своем, биологически активные соединения одновременно относится к нескольким классам (аминокислоты, фосфолипиды, глюкопротеины и многие другие).

Среди прочих соединений, обладающих синергизмом свойств, можно выделить такой класс соединений, как винилацетиленовые кетоны (ВАК). Данные соединения в своей структуре содержат винильный (С=С) и ацетиленовый (С=С) фрагменты, а также карбонильную группу (С=О). При этом возможны три принципиально различных способа расположения функциональных групп (Схема 1).

Схема 1.

$$R_1$$
 R_2
 R_2
 R_3
 R_4
 R_2
 R_3
 R_4
 R_2
 R_3
 R_4
 R_5
 R_5
 R_7
 R_8

Соединения типа \mathbf{A} носят общее название 1,5-диарилпент-2-ен-4-ин-1-онов, \mathbf{B} - 1,5-диарилпент-4-ен-2-ин-1-онов, \mathbf{C} - 1,5-диарилпент-1-ен-4-ин-3-онов. Наибольший интерес представляют именно соединения типа \mathbf{A} , как наименее изученные, но в то же время обладающие самыми интересными свойствами.

Известно, что структурными элементами многих биологически активных веществ являются активированные виниленовые и ацетиленовые связи [1]. Естественно, что при изучении таких высоконенасыщенных

карбонильных соединений, как ВАКи, наблюдалась биологическая активность [2].

1.1.1. Особенности строения винилацетиленовых кетонов

Винилацетиленовые кетоны типов **A** и **B** представляют собой соединения с сопряженной системой связей, со смещением электронной плотности, характерной для непредельных кетонов, то есть к карбонильной группе (Схема 2).

Схема 2.

$$R_1$$
 R_2
 R_1
 R_2
 R_3

Таким образом, в представленных системах возникает несколько как электрофильных, так и нуклеофильных центров, что объясняет высокую реакционную способность представленных соединений. Естественно, реакционные центры для соединений типа **A** и соединений типа **B** будут различны [3].

Симметричные кетоны типа **C** значительно отличаются от **A** и **B**, так как с карбонильной группировкой может происходить сопряжение либо двойной связи, либо тройной, но не одновременно обеих (Схема 3). Схема 3.

$$R_1$$
 R_2 R_1

При этом возникновение реакционных центров в винильном или ацетиленовом фрагменте будет определяться в основном природой заместителей R_1 и R_2 и их воздействием на пентеновый каркас.

Таким образом, винилацетиленовые кетоны имеют склонность к возникновению нескольких реакционных центром, что связано с их строением, эффектом сопряжения, а также высоконенасыщенным характером связей [4].

1.1.2. Реакционная способность и химические свойства винилацетиленовых кетонов

Прежде всего, винилацетиленовым кетонам свойственны реакции по двойным и тройным связям, такие как гидрирование, бромирование и другие. При этом в случае гидрирования порядок восстановления связей во многом определяется типом исследуемого ВАКа, а также заместителями в 1 и 5 положениях [5-7]. Так, в случае 1,5-диалкилпент-2-ен-4-ин-1-онов восстановление идет по ацетиленовой связи (Схема 4).

Схема 4.

$$R_1$$
 R_2
 R_2
 R_1
 R_2
 R_2
 R_3

В случае пент-1-ен-4-ин-3-она, каталитическое восстановление также идет по тройной связи [8], а уже для гекс-1-ен-4-ин-3-она восстановление идет как по двойной, так и тройной связям (Схема 5).

Схема 5.

В литературе имеются сведения [9] о наличии антимикотической, противораковой и других активностей гетероциклических продуктов на основе винилацетиленовых кетонов. Если соотнести этот факт и наличие

нескольких реакционных центров, особую важность будут иметь процессы нуклеофильного присоединения, то есть взаимодействия с такими группами, как –NH, -SH, -OH и другими. Реакция при этом может протекать как бифункциональными нуклеофилами, так и с монофункциональными нуклеофилами.

Пример получения гетероциклов на основе ВАКов описан в статье [10]. Так, Голованов и соавторы отмечают особенности протекания реакции винилацетиленовых кетонов с гидразинами. В частности, в случае взаимодействия с гидразин гидратом реакция идет по двойной связи и карбонильной группировке (Схема 6).

Схема 6.

R = H, Me, OMe, CI, Br

Дальнейшая функционализация 3-арил-5-(2-фенилэтинил)-4,5-дигидро-1*H*-пиразолов путем ацилирования приводит к соединениям с противомикробной активностью с хорошими выходами.

В статье [11] Валдо и соавторы среди прочего описывают взаимодействие винилацетиленового кетона с ацетилгидразином, при этом реакция идёт по тройной связи с хорошими выходами (Схема 7). Схема 7.

Помимо реакции по двойной или тройной связи, вполне естественно наличие реакции по карбонильной группировке. В литературе [12] имеется описание такого взаимодействия. Так, в ходе реакции 2,4-динитрофенилгидразина с 1,5- дифенилпентен-1-ин-4-оном-3 получается гидразон (Схема 8).

Схема 8.

Отсутствие взаимодействия по двойным или тройным связям, повидимому, связано со стерическим, а также электронными факторами.

Пример взаимодействия винилацетиленовых кетонов с монофункциональными нуклеофилами представлен в работе [13]. Так, Кейси и соавторы описывают присоединения 2-аминопропана к Z-1-фенилпентен-2-ин-4-ону-1, при этом происходит образование смеси продуктов реакции как по двойной, так и по тройной связи, а также происходит изомеризация по двойной связи исходного соединения (Схема 9).

Схема 9.

Также в литературе имеются примеры внутримолекулярной циклизации винилацетиленовых кетонов. Так Дю [14] и соавторы сообщают о получении фуранового производного путем окислительной циклизации кетона с применением 2-йодоксибензойной кислотой (Схема 10).

Схема 10.

Получаемое фурановое соединение является хорошим исходным соединением для дальнейшей функционализации с целью получения биологически активного соединения.

1.2. Азот- и серосодержащие конденсированные системы

Как уже было отмечено ранее — большинство биологически активных соединений в своем строении содержат гетероциклический фрагмент. При этом в качестве гетероатома может выступать S, Se, N, O и др. Среди прочих гетероциклов отдельно выделяют содержащие два гетероатома в своем строении, например азот- и серосодержащие гетероциклы (Схема 11). Схема 11.

Представленные соединения (1 – тиазолидин, 2 – тиазол, 3 – изотиазол, 4 – тиоморфолин, 5 – тиазин, 6 - бензотиазол) а также их производные обладают ярко выраженной биологической активностью [15,16]. Среди представленных соединений отдельно выделяется бензотиазол.

Конденсированная система тиазола и бензольного кольца приводит к улучшенным биологическим свойствам [17,18] в количественном и качественном отношениях. Многие препараты, содержащие в своем строении бензотиазольный фрагмент (Схема 12), или используются при лечении разнообразных заболеваний (рак, болезнь Паркинсона, болезнь Альцгеймера и др.) или проходят клинические испытания.

Схема 12.

Таким образом, производные бензотиазола представляют огромный интерес в плане проявляемой биологической активности.

1.2.1. Особенности строения

Главной особенностью в молекуле бензотиазола является наличие двух разных по своей природе центров — серы и азота. При этом атом серы обуславливает наличие характеристик, свойственных π -избыточным системам, стягивая электронную плотность на себя. В свою очередь атом азота пиридинового типа имеет свойства π -недостаточных систем, придавая некоторые основные свойства (Схема 13).

Схема 13.

В результате действия гетероатомов происходит обеднение электронной плотности бензольного кольца, а также снижение электронной плотность атома C_2 [19].

1.2.2. Реакционная способность и химические свойства

Исходя из электронного строения незамещенного бензотиазола, реакции электрофильного замещения идут по положению 6, в случае если оно не доступно — по положению 4. Атом С₂ ввиду его расположения и недостатка электронной плотности является центром нуклеофильных реакций. При этом 2-меркаптобензотиазолы, 2-галогенбензотиазолы и другие подобные соединения легко обмениваются с нуклеофилами (Схема 14). Схема 14.

$$S$$
 SH PCI_5 S CI

Для бензотиазола также свойственны реакции с раскрытием цикла – к такому выводу пришел китайский ученый Фенг и соавторы [20]. Реакция между производными йодбензола и бензотиазолом происходит в присутствии основания и солей меди приводит к соответствующим аминам с отличными выходами (Схема 15).

Схема 15.

При этом в качестве радикала могут выступать как электроноакцепторные, так и электронодонорные группы.

В статье сингапурского ученого Раньжита [21] описывается метод функционализации бензотиазолов с использованием арилбороновой кислоты (Схема 16). Получаемые производные имеют высокие выходы как в случае электронодонорных, так и электроноакцепторных заместителях в исходной кислоте.

Схема 16.

$$\stackrel{\text{OH}}{=}$$
 $\stackrel{\text{OH}}{=}$ $\stackrel{\text{OH}}{=}$ $\stackrel{\text{Pd/Cu}}{=}$ $\stackrel{\text{S}}{=}$ $\stackrel{\text{S}}{=$

В работе [22] также описывается арилирование бензотиазолов, но с применением олефиновых соединений и железом в качестве катализатора (Схема 17)

Схема 17.

Китайский ученый Гао в статье [23] описывает реакцию получения серии 2-ацилбензотиазолов с неплохими выходами (Схема 18).

Схема 18.

$$\downarrow$$
 N \downarrow N \downarrow O \downarrow N \downarrow N

В работе [24] описывается реакция взаимодействия бензотиазола с различными циклическими 1,3-дикарбонильными соединениями, например с циклогексан-1,3-дионом (Схема 19).

Схема 19.

Иранский ученый Нассири и его коллеги описывают [25] довольно любопытный способ функционализации бензотиазола — через трехкомпонентный one-pot синтез, проходящий с хорошими выходами. При этом одним из компонентов выступает соединение с подвижным атомом водорода, а другим — диалкил ацетилендикарбоксилат. Пример такого синтеза представлен на схеме 20.

Схема 20.

Также большой интерес представляют замещенные производные бензотиазола. В одной из недавних статей [26] описывается катализируемое палладием арилирование замещенных бензотиазолов по 7 положению кольца с хорошими выходами продуктов (Схема 21).

Схема 21.

Есть в литературе и примеры обратного перехода от производного к бензотиазолу. Так, китайские ученые [27] предлагают производить очистку от следов 2-меркаптобензотиазола в воде путем использования γ-излучения.

Не всегда бензотиазол должен быть исходным соединением. Итальянский ученый Кальо и соавторы [28] в своей статье описывают чрезвычайно интересное применение производного бензотиазола – в качестве катализатора в реакции Хэка (Схема 22).

Схема 22.

Ar-Br +
$$CO_2R$$
 Ar

Таким образом, наибольший интерес исследователей привлекает именно получение именно 2-замещенных бензотиазолов. Получаемые соединения характеризуются широким разнообразием свойств и областей применения.

1.3. Реакция 2-меркаптобензотиазола и винилацетиленовых кетонов

Взаимодействие винилацетиленовых кетонов типа A с меркаптосоединениями является очень слабо разработанной областью исследований. Одна из работ по этой тематике была выполнена Головановым и соавторами [29]. В данной статье приводится схема синтеза любопытного класса соединений - бензотиазолилфурфурилсульфидов. В ходе реакции происходит не только присоединение 2-меркаптобензотиазола к молекуле винилацетиленового кетона, но и внутримолекулярная циклизация с образованием фуранового цикла (Схема 23).

Схема 23.

Отмечается. электронодонорными что реакция идет как cэлектроноакцепторными, заместителями, так И однако кетоны электроноакцепторными заместителями в арильном цикле, дают более высокие выходы. Варьируя основания также можно подобрать условия для максимальных выходов.

Также авторами предлагается наиболее вероятный механизм реакции, который объясняет внутримолекулярные взаимодействия в молекуле винилацетиленового кетона (Схема 24).

Схема 24.

Получаемые соединения в ряде случаев обладают потенциальной фунгицидной активностью.

1.4. Хроматография и контроль химических реакций

Как в органической химии, в общем, так и в частных случаях (например, реакции винилацетиленовых кетонов) перед исследователями встает достаточно важная, а иногда и трудная, задача — контроль химической реакции [30]. При этом можно выделить две формы контроля: кинетический контроль хода реакции и идентификация продуктов с промежуточными соединениями. Если первый метод позволяет понимать механизм реакции, количественно определяя константы и равновесия, то второй является скорее качественным методом, предоставляющим возможность ученым к идентификации продуктов или состава реакционной смеси.

При этом, среди прочих методов выделяют отдельную группу методов, основанных на общем сорбционном методе разделения – хроматографические методы[31]. При этом данный метод приемлем как для контроля кинетики реакции [32], так и для идентификации продуктов и промежуточных соединений, в том числе в биологических системах[33, 34].

Среди прочих хроматографических методов в последние годы выделилась тенденция в развитии довольно сильного, в плане идентифицирующий способности, метода - высокоэффективной жидкостной хроматографии (ВЭЖХ) [35]. Данный метод позволяет достаточно быстро и

эффективно разделять смеси сложных веществ не только для их последующей идентификации, но и для контроля прохождения реакции.

1.4.1. Идентификация продуктов и промежуточных соединений

В литературе встречается много примеров применения ВЭЖХ для разделения продуктов реакций или идентификации промежуточных соединений. Кроме научного интереса, эти исследования часто несут практическую пользу. Так, Фишер и соавторы в своей работе [36] описали способ разделения продуктов окисления таких важных арилдиаминов, как пара-фенилдиамин и пара-толуолдиамин (Схема 25).

Схема 25.

При этом авторами был использован хроматограф фирмы Shimadzu, колонка с обращенной фазой С18. В качестве элюента была выбрана система ацетонитрил: ацетат аммония, длина волны детектора 255 нм, скорость тока элюента 1 мл/мин. Из особенностей эксперимента можно выделить изменение соотношения ацетонитрила и ацетата аммония в ходе эксперимента.

Японские исследователи также нашли достаточно интересное применение ВЭЖХ [37]. Они использовали данный вид хроматографии для определения содержания окисленных форм группы витаминов Е. На схеме 26 представлены продукты окисления γ-токотриенола. Авторы отмечают, что смеси с большим числом продуктов окисления в ряде случаев проявляют противораковые свойства.

Схема 26.

Для разделения смеси использовался хроматограф фирмы ACQUITY, колонка BEH Shield RP18, в качестве подвижной фазы выступал метанол, скорость тока элюента 0.2 мл/мин, длина волны детектора составляла 450 нм.

Китайские ученые применили ВЭЖХ [38] для определения интермедиатов в реакции между фенолами, первичными аминами и альдегидом. При этом образовалась бензоксазин – структура, содержащая оксазиновый фрагмент (Схема 27).

Схема 27.

При разделении смеси и для определения промежуточного продукта использовалась колонка SunFire C18, в качестве элюента выступала система ацетонитрил: вода с переменным соотношением компонентов, скорость тока элюента составляла 0.5 мл/мин, длина волны детектора составляла 340 нм.

Ксье и соавторы [39] описали в своей работе применение ВЭЖХ для определения оптической чистоты продуктов взаимодействия кетонов и альдегидов (Схема 28).

Схема 28.

$$R_1$$
 + R_2 R_3 R_3 R_3 R_3 R_3 R_3 R_3 R_4 R_5 R_5 R_5 R_5

При этом можно выделить особенность катализа реакции – используется липаза быка для альдольной конденсации, поэтому данную работу можно отнести к области, так называемой зеленой химии. Для анализа оптической чистоты использовалась хиральная колонка для хроматографа.

Данный вид колонок характеризуется крайне высокой чувствительностью и требует тщательного ухода.

Ученые из Египта опубликовали свою работу [40], в которой описывается применение ВЭЖХ метода для определения метаболитов лекарственного препарата нафтидрофурила, применяемого в качестве сосудорасширяющего средства. Основным метаболитом при гидролизе является 3-(1-нафтил)-2-тетрагидрофурфурилпропионовая кислота (Схема 29).

Схема 29.

Авторами для наилучшего хроматографического разделения была применена колонка Spheri-5 RP-C8, подвижная фаза ацетонитрил : 0.05 М раствора ацетата натрия : триэтиламин (40 : 60 : 0.1) при рН в районе 5.5 (достигалась с применением ацетатного буфера), скорость тока элюента составляла 1.5 мл/мин, длина волны детектора составляла 225 нм. При заданных условиях достигалось отличное разделение исходного лекарства и его метаболитов, в том числе в плазме крови человека.

Чжанг и соавторы описывают one-pot синтез пиразолов [41] с применением винил азидов, альдегидов а также тозилгидразинов (Схема 30). В качестве способа контроля завершения реакция авторами был выбран метод ВЭЖХ, а именно исчезновение сигналов, соответствующих азидам в реакционной смеси.

Схема 30.

$$R_1$$
 + R_3 -COH + H_2N T_3 DMF R_3 R_1 R_2

Таким образом, высокоэффективная жидкостная хроматография находит широчайшей применения для идентификации продуктов реакций, промежуточных соединений, контроля протекания реакций.

1.4.2. Исследования кинетики реакций методом ВЭЖХ

Можно выделить два подхода к использованию хроматографии в кинетических исследованиях. Первый из них предполагает проведение реакции вне хроматографа, отбор проб и их хроматографический анализ. В методе отбора проб хроматография используется как обычный способ количественного и качественного анализа. В так называемом импульсном методе хроматографическая колонка является реактором, реакция идет в процессе хроматографического разделения [42].

Например, ученые из Кипра в своей работе [43] описали применения ВЭЖХ для контроля протекания реакции Майяра в режиме реального времени. При этом исследователям удалось добиться фиксации каждого из промежуточных соединений, что позволило им в больших деталях изучить кинетические аспекты этой сложной, многоступенчатой реакции (Схема 31). Схема 31.

При всем разнообразии промежуточных соединений, ученые описывают применение всего одного режима хроматографа. Колонка Zorbax SB-Aq, хроматограф фирмы Agilent Technologies, в качестве подвижной фазы была использована вода при токе 0.5 мл/мин, длина волны детектора составляла 200 нм. Для исследования кинетики реакции температурный

режим реакции варьировался в диапазоне 25-140°C, рН удерживался в районе 8.0.

Морин и соавторы в своей статье [44] сообщают о применении метода ВЭЖХ для изучения кинетики работы важного фермента, участвующего в обмене аминокислот – γ-глутамилтрансферазы (GGT). Упрощенный вариант записи механизма транспептизации изображен на схеме 32. Схема 32.

Для изучения кинетики реакции, исследователи использовали ряд различных заместителей, варьировали рН. Путем преобразования уравнения Михаэлис-Ментен им удалось прийти к выводу, что константы скорости реакции транспептизации зависит не только от основности уходящих аминогрупп, как считалось ранее, но и от природы приходящего заместителя R'.

Эффективное разделение с последующей идентификацией были достигнуты с использование хроматографа Hitachi D-7000, колонкой Higgins Targa C18 5 lM. В качестве элюента выступала система, состоящая из раствора фосфата калия с рН 6.8 и смеси ацетонитрил : пропан-2-ол (80 : 20). Скорость тока элюента составляла 1 мл/мин, длина волны детектора 200 нм.

Ученые Индии ИЗ также описали применение метода высокоэффективной жидкостной хроматографии для определения кинетики реакции [45]. В качестве объекта исследования выступало антитромбоцитарное средство – клопидрогел. Данный препарат согласно

исследованиям в организме сначала подвергается окислительным процессам, после чего происходит его гидролиз (Схема 33). При этом проводилось исследование кинетики гидролиза соединения в разнообразных условиях с различными гидролизующими агентами.

Схема 33.

$$CI \xrightarrow{O} O CI \xrightarrow$$

По результатам проведенных экспериментов с варьированием температуры и условий гидролиза было установлено, что в случаях щелочного и кислотного гидролизов наиболее вероятным является первый порядок реакции. Также были определены константы скоростей гидролиза.

Разделение смеси и дальнейший контроль хода реакции был достигнут при использовании хроматографа фирмы Shimadzu, колонки Waters C18, в качестве элюента ацетонитрил : вода (80 : 20) при скорости тока элюента 1 мл/мин, длина волны детектора 240 нм.

Вонг и соавторы в своей работе [46] описывают исследование стабильности и кинетики гидролиза природного дитерпена — форсколина. Данное вещество увеличивает внутриклеточный уровень аденозинмоносфата, приводя к разнообразным фармакологическим эффектам. На схеме 34 представлен процесс изомеризации и гидролиза форсколина в щелочных средах.

Схема 34.

Авторами было установлено, что зависимость константы гидролиза от температуры при различных рН подчиняется уравнению Аррениуса. В

слабокислых буферных растворах (pH 3.5 – 5.0) форсколин относительно стабилен. Однако при pH выше заданного интервала стабильность падает. При pH 6.5 – 8.5 щелочной гидролиз подчиняется законам уравнения псевдопервого порядка. Также были определены константы скоростей гидролиза.

Для определения продуктов и кинетики реакции был использован хроматограф Agilent 1100 с колонкой Promosil C18, в качестве элюента была использована смесь ацетонитрил : вода (68 : 32) при скорости тока элюента 3 мл/мин, длина волны детектора 210 нм.

Также ВЭЖХ может быть применено для таких тонких процессов, как разделение цис- и транс-изомеров, а также для изучения кинетических и термодинамических особенностей перехода изомеров. Так, ученые из Туниса описывают [47] использование метода ВЭЖХ для определения константы перехода для периндоприла (Схема 35). Данное вещество используется при лечении гипертонии и сердечной недостаточности. Схема 35.

С помощью высокоэффективной жидкостной хроматографии исследователям удалось определить константу скорости изомеризации, варьируя температуру. Исходя из зависимости константы скорости от температуры, были найдены свободная энергия, энтропия и энтальпия изомеризации. Изменяя скорость тока элюента, удалось в первый раз продемонстрировать независимость барьера изомеризации от скорости тока элюента.

Для анализа был использован хроматограф Hewlett Packard 1100 с колонкой Supelco LC 18, длина волны детектора 215 нм. В качестве элюента выступала смесь фосфатного буфера (рН 7.0) и ацетонитрила в соотношении

7:3, скорость тока при выполнении эксперимента варьировалась от 0.5 до 2.0 мл/мин.

Таким образом, ВЭЖХ является одним из самых современных методов для количественного и качественного анализа, как индивидуальных соединений, так и смесей веществ. Данный метод позволяет также решать задачи, связанные с определением кинетических и даже термодинамических характеристик протекания реакций.

1.5. Другие методы анализа

Помимо ВЭЖХ исследователям на помощь могут прийти другие методы, иногда более точные, иногда менее требовательные в плане оборудования. При этом эти методы позволяют как количественно, так и качественно производить оценку продуктов и хода реакции.

Одним из легких и сравнительно дешевых методов контроля превращений в реакционной смеси, а также идентификации продуктов — тонкослойная хроматография (TCX) [48] Данный вид хроматографии основан на использовании тонкого слоя адсорбента в качестве неподвижной фазы. Ввиду простоты использования метод применяется для качественного контроля превращения исходных реагентов в продукты. Например, ученые из Португалии описали [49] применения ТСХ для контроля стадий реакций превращения тестостерона в новые соединения, имеющие противораковую активность. Пример одного синтеза из статьи представлен на схеме 36. Схема 36.

В качестве пластинок для ТСХ были использованы силикагелевые пластинки 60 F254, в роли элюента выступала смесь петролейного эфира с этилацетатом в разных пропорциях.

Другой популярный метод идентификации продуктов — газовая хроматография. В этом методе происходит разделение летучих компонентов, при этом в качестве подвижной фазы выступает инертный газ-носитель, который протекает через неподвижную фазу с большой поверхностью (колонку) [42]. При этом данный метод часто применяется вкупе с другими, например с ИК-фурье спектрометрами, масс-спектрометрами и другими.

Ученые из Кореи [50] провели серию синтезов трифторметилсодержащих соединений из алкинов с использованием в качестве катализатора видимого света. Продукты получались с выходами от хороших до отличных. На схеме 37 представлены две типовые схемы синтеза. Схема 37.

При этом для определения соотношения E/Z изомерии и выходов продуктов среди других методов была использована газовая хроматография.

Для качественного анализа индивидуальных веществ особую нишу спектроскопия [51]. В данном методе при занимает инфракрасная инфракрасного излучения через исследуемый прохождении возбуждение колебательных движений происходит молекул или отдельных фрагментов. В результате обработки получаемых данных можно получить спектры, по которым возможно судить о наличии тех или иных функциональных групп, ЧТО можно использовать для установления структуры соединения.

В статье [52] Володькин и соавторы описывают процесс кислотного гидролиза 2-(N-метиламид)-3-(3',5'ди-трет-бутил-4'-гидроксифенил)-пропионовой кислоты с целью получения соединений, обладающих потенциальной антиоксидантной активностью. При этом исследователи отмечают получения целого ряда продуктов (Схема 38) ввиду протекания в том числе процесса дезалкилирования трет-бутильной группировки. Так, они получили водорастворимый гомолог тироксина, обладающий антиокислительными свойствами.

Схема 38.

Ученые выделили все соединения в индивидуальном виде и охарактеризовали их строение, в том числе с использованием ИК-спектроскопии. ИК-спектры записывали на спектрометре PERKINELMER 1725-Х в твердой фазе (кристаллы) методом диффузного отражения.

Одним из самых совершенных методов для исследования структуры химических веществ, определения констант скоростей реакций, величин энергетических барьеров вращений внутримолекулярных является магнитного резонанса [53]. Данный спектроскопия ядерного метод основывается на излучении или поглощении электромагнитной энергии веществами, содержащими ядра с ненулевым спином во внешнем магнитном поле.

Ученые из Китая описали метод получение трифтор-замещенных изоксазолинов с использованием соединений меди в качестве катализатора [54]. При этом был получен ряд производных с хорошими выходами, которые могут обладать потенциальной биологической активностью. Общая методика синтеза представлена на схеме 39.

Схема 39.

NOH
$$R_2$$
 + R_1 + R_3 R_4 + R_4 + R_3 R_4 + R_4 R_4 R_4 R_4 R_5 R_4 R_4 R_4

Структура всего многообразия продуктов была подтверждена с использованием метода ЯМР. Спектры были записаны при 283°K, с использование прибора фирмы Bruker с частотой 600 МГц.

2. ЭКСПЕРИМЕНТАЛЬНАЯ ЧАСТЬ

2.1. Реагенты и оборудование

- 1.Жидкостный хроматограф «Aglient 1220» со спектрофотометрическим детектором
 - 2. Хроматографический шприц «Agilent 1220»
 - 3. Аналитические весы
 - 4. Хроматографическая колонка ZORBAX-C₁₈(100* 4,6 мм, 5мкм)
 - 5. Ультразвуковая ванна «Сапфир»
 - 6. Ацетонитрил, для ВЭЖХ
 - 7. Дистиллированная вода
 - 8. 2-меркаптобензатиазол (МБТ)
 - 9. 1,5-дифенилпент-2-ен-4-ин-1-он (ВАК-1)
 - 10. Триэтиламин, х.ч.
 - 11. Метанол, х.ч.

2.2. Методика ВЭЖХ-эксперимента

Хроматографический проводили анализ cпомощью высокоэффективного жидкостного хроматографа «Agilent 1220» co спектрофотометрическим детектором. Для анализа использовалась колонка ZORBAX C-18; 4,6* 100 мм, 5 мкм; элюент: ацетонитрил: вода (7:3),(8:2) и метанол:вода в различных соотношениях; длина волны детектора 220 нм; скорость тока элюента - 1,0 мл/мин. Данные на выходе обрабатывались с помощью встроенного ПО OpenLab фирмы Agilent.

2.3. Съемка ИК-спектра

ИК спектры записывали на Фурье-спектрометре ФСМ-1201 в таблетках КВг. Спектры записывали в диапазоне 4000−400 см −1. Для расшифровки спектров использовали литературу [35,37].

2.4. Условия хромато-масс-спектрометрического исследования

Масс-спектрометры были получены на приборе GCMS-QP2010Ultra (ЭИ, 70 эВ) с капиллярной колонкой Rtx-5MS 30м. Режим анализа: температура испарителя 300°C, термостат колонок 50°C 2 минуты нагрев

10°/мин до 300°С, температура переходной линии 250°С, температура источника ионов 200°С. Газ-носитель: гелий скорость 1,5 мл/мин. Диапазон измеряемых масс 50-400 Да.

2.5. Общая методика получение замещенных фуранов из меркаптобензазолов

К раствору 1 ммоль кетона и 1 ммоль меркаптобензазола в 7 мл абсолютированого метилового спирта добавляли 0.1 ммоль катализатора (основной природы). После окончания реакции (контроль методом ТСХ) полученный осадок отфильтровывали, промывали 70% метиловым спиртом и сушили на воздухе.

2.6. Методика приготовления реакционной смеси для хроматографического исследования

2.6.1. Реакционная смесь без катализатора

Для приготовления реакционной смеси брали 0,0175 г (0.001 моль) 2-меркаптобензатиазола, и 0,0233 г (0.001 моль) (*E*)-1,5-дифенилпент-2-ен-4-ин-1-она, несколько капель абсолютного метанола, разбавляли эту смесь в ацетонитриле. После этого отбирали по 1 мкл пробы и проводили анализ методом ВЭЖХ (элюент: ацетонитрил:вода,7:3, длина волны 220нм, скорость тока 1,0 мл/мин), через определенные промежутки времени.

2.6.2. Реакционная смесь с катализатором

К смеси, приготовленной согласно пункту 2.6.1. добавили 5-7 капель триэтиламина. После этого хроматографировали в аналогичных условиях.

2.7. Препаративное хроматографическое выделение промежуточных соединений

В условиях ВЭЖХ, аналогичных условиям анализа реакционной смеси, проводили препаративное выделение трех промежуточных продуктов. Для этого в определеленные из хроматограмм интервалы времени многократно собирали элюат на выходе из детектора.

3. ОБСУЖДЕНИЕ РЕЗУЛЬТАТОВ

Ранее в работе [29] по реакции сопряженных ениновых кетонов с бензазол-2-тионами был получен 2-{[Фенил(5-фенилфуран-2-ил)фенилметил]-сульфанил}-1,3-бензотиазол. Его структура была доказана методами ИК, ЯМР, а также методом рентгеноструктурного анализа.

При проведении синтеза было отмечено образование промежуточных соединений. В данной работе стояла задача обнаружения и возможности последующей идентификации промежуточных соединений, в том числе и с целью установления механизма протекающей реакции. Предполагается, что образование фурана происходит через промежуточную алленовую структуру. По результатам литературного обзора для контроля за ходом реакции (схема 3.1) в качестве элюентов исследованы системы ацетонитрил/вода и метанол/вода в различных объемных соотношениях.

Схема 3. 1.

Предварительно была определена рабочая длина волны детектора (таблица №1).

Таблица №1- Исследованные составы элюентов.

№	Элюент	Соотношение	Длина	Скорость
			волны,	тока мл/мин
			НМ	
1.	Ацетонитрил-вода	7:3	220	1
2.	Ацетонитрил-вода	8:2	220	1
3	Метанол-вода	7:3	220	1

В качестве первой системы была выбрана ПФ ацетонитрил/вода. В рамках этого эксперимента нами были выделены два соотношения

растворителей - 7:3 и 8:2, (скорость тока 1 мл/мин, длина детектора 220 нм) (рисунок 1 и 2 соответственно). В обоих случаях наблюдались удовлетворительные формы пиков, а также время удерживания. Однако, наилучшее разделение веществ было при соотношении растворителей 7:3.

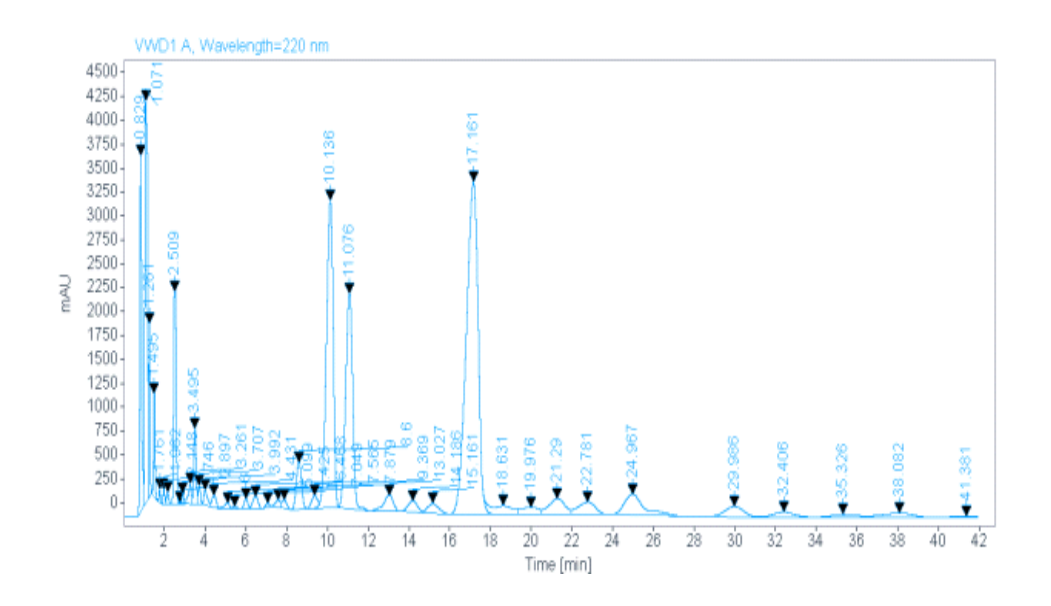


Рисунок 1 — реакционная смесь (МБТ+H-BAK-1), НФ: ZORBAX C_{18} (100*4,8мм, 5 мкм), элюент: ацетонитрил:вода, соотношение 7:3, длина волны детектора 220 нм

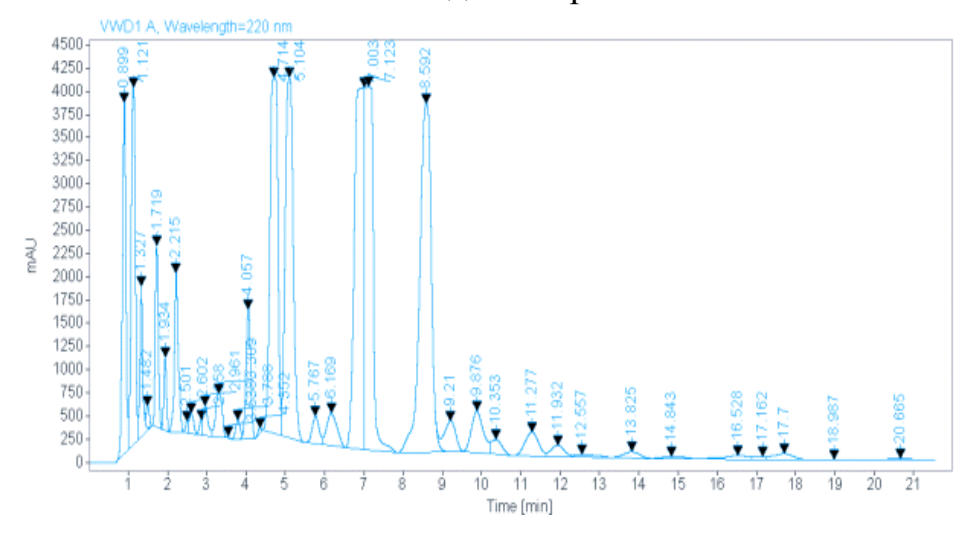


Рисунок 2 — реакционная смесь (МБТ+H-BAK-1), НФ: ZORBAX C_{18} (100*4,8мм, 5 мкм), элюент: ацетонитрил:вода, соотношения 8:2,длина волны детектора 220 нм

Далее была исследована ПФ метанол: вода в соотношении 7:3 (скорость тока 1 мл/мин, длина волны детектора 220 нм). Анализ полученной хроматограммы (рисунок 3) показывает, что данные условия является менее пригодными для анализа реакции: из-за наблюдаемого размытия хроматографических зон, а большое время удерживания не соответствуют требованию экспрессности анализа.

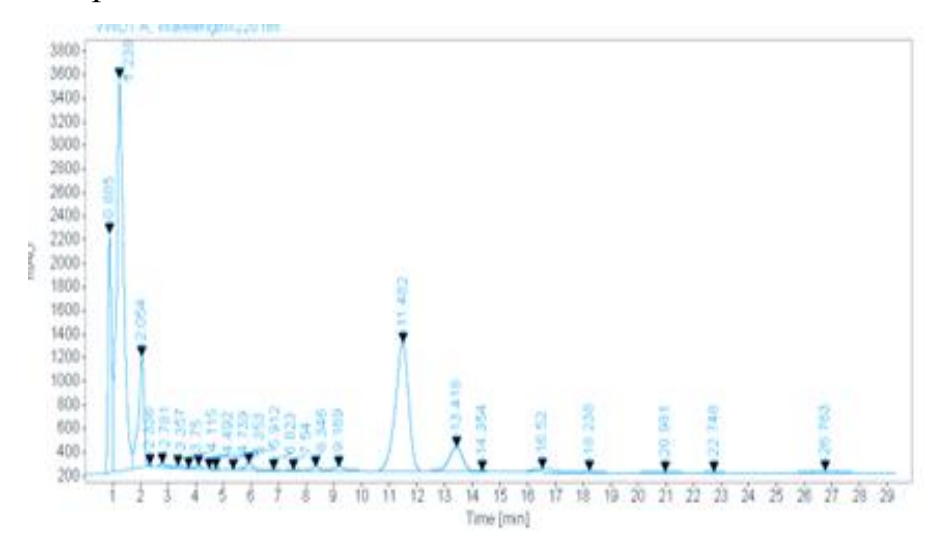


Рисунок 3- реакционная смесь (МБТ+H-BAK-1), НФ: ZORBAX C_{18} (100*4,8мм, 5 мкм), элюент:метанол:вода, соотношения 7:3,длина волны детектора 220 нм

Таким образом, для проведения эксперимента в соответствии с требованиями ВЭЖХ нами были выбраны условия ацетонитрил:вода 7:3, при длине волны детектора 220 нм, скорость тока 1 мл/мин.

С целью выявления влияния катализатора на скорость реакции нами были исследованы реакционные реагирующие системы - с катализатором (триэтиламином) и без катализатора. При этом происходил отбор проб через определенные промежутки времени для ВЭЖХ анализа. Первая система, не содержащая катализатора, контролировалась каждые 15 минут в течение 45 минут (рисунки 4,5,6,7).

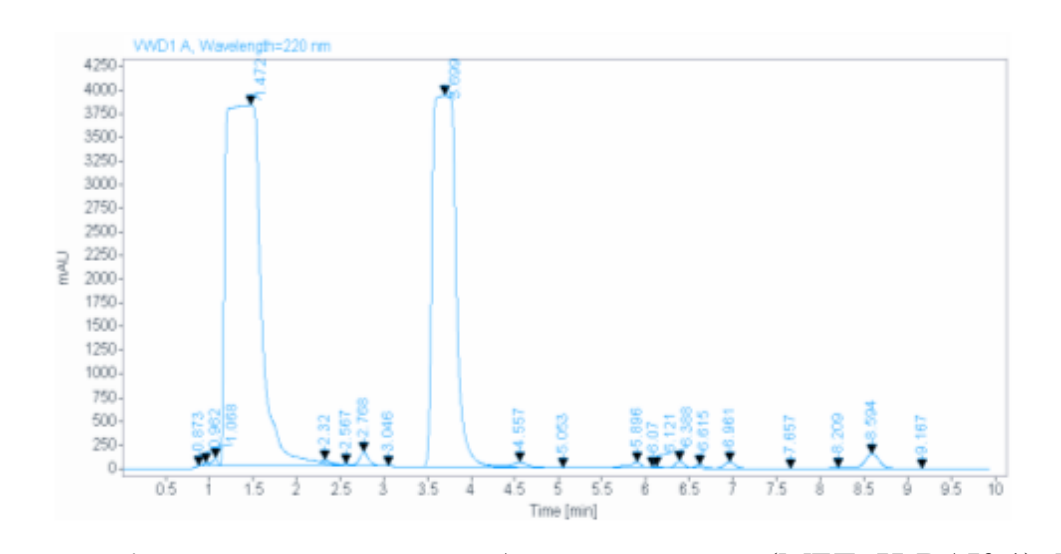


Рисунок 4 — реакционная смесь без катализатора (МБТ+Н-ВАК-1), НФ: ZORBAX C₁₈ (100*4,8мм, 5 мкм), элюент: ацетонитрил:вода, соотношения 7:3, скорость потока 1-2мл, длина волны детектора 220 нм При этом происходит возникновение промежуточного соединения (пик время удерживания 4,328)

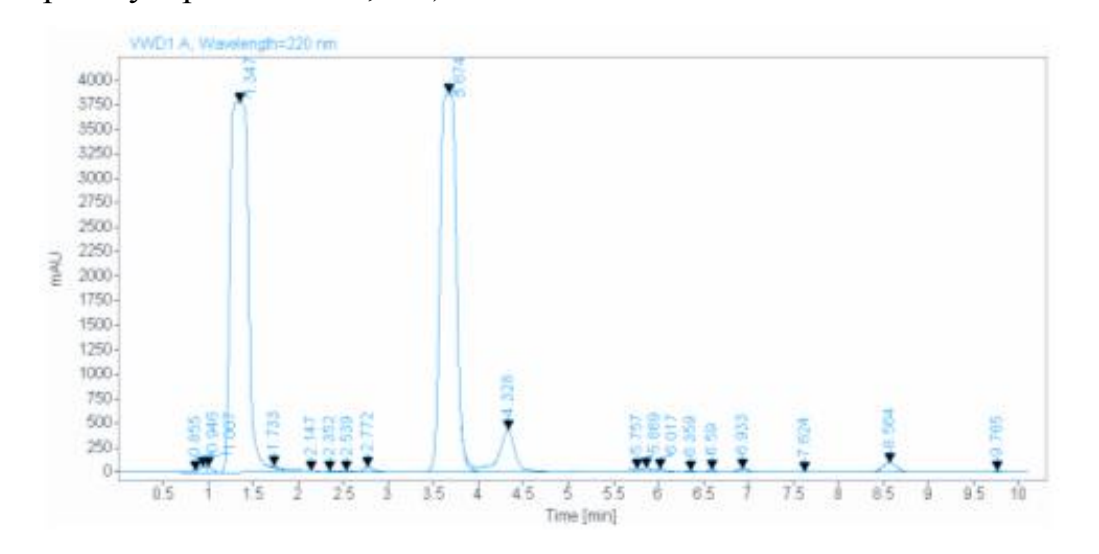


Рисунок 5 — реакционная смесь без катализатора (МБТ+H-ВАК-1), Н Φ : ZORBAX С₁₈ (100*4,8мм, 5 мкм), элюент:ацетонитрил:вода, соотношения 7:3, скорость потока 1-2мл, длина волны детектора 220 нм

Благодаря использованию метода ВЭЖХ, нам удалось зафиксировать момент образования данных промежуточных соединений и отобрать их для дальнейшего анализа и идентификации.

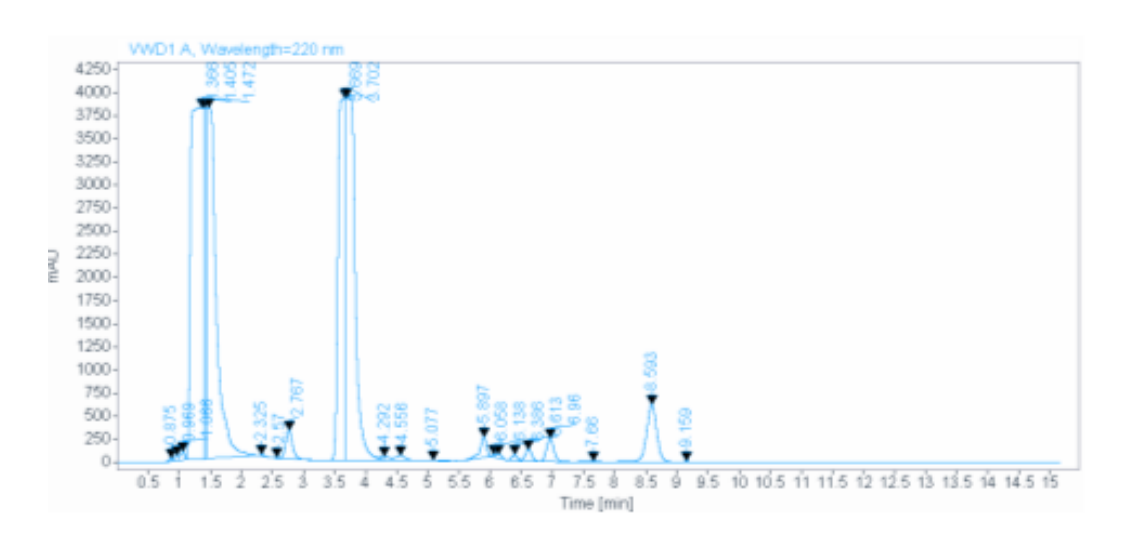


Рисунок 6 — реакционная смесь без катализатора (МБТ+H-BAK-1), Н Φ : ZORBAX С₁₈ (100*4,8мм, 5 мкм), элюент: ацетонитрил:вода, соотношения 7:3, скорость потока 1-2мл, длина волны детектора 220 нм

Вторая система, с катализатором, контролировалась в течение нескольких часов, при этом сразу наблюдалось образование соответствующих пиков, и шло лишь количественное увеличение их содержания (рисунки 8-10).

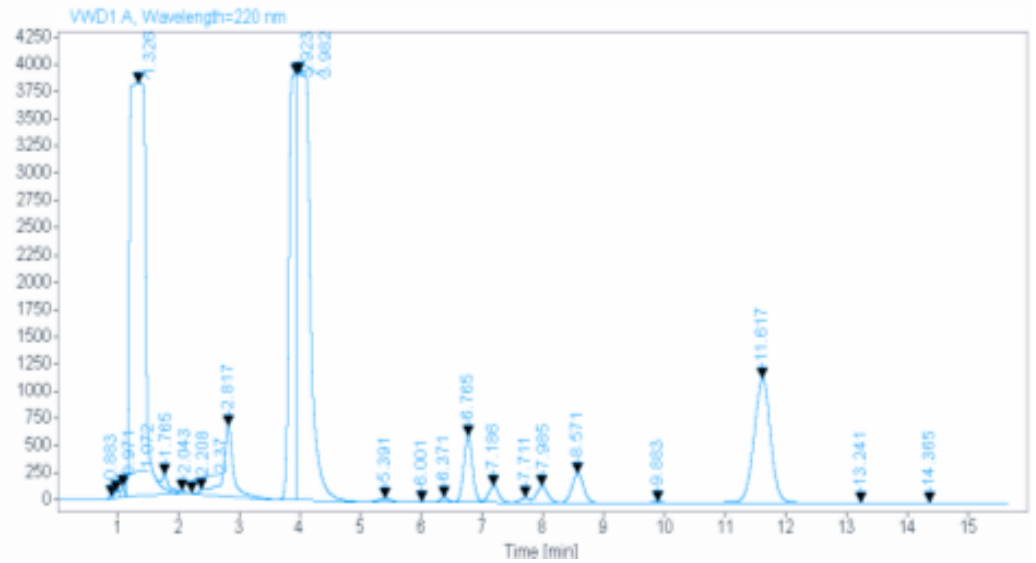


Рисунок 7 — реакционная смесь с катализатором (МБТ+H-BAK-1), Н Φ : ZORBAX С₁₈ (100*4,8мм, 5 мкм), элюент: ацетонитрил:вода, соотношения 7:3, скорость потока 1-2мл, длина волны детектора 220 нм

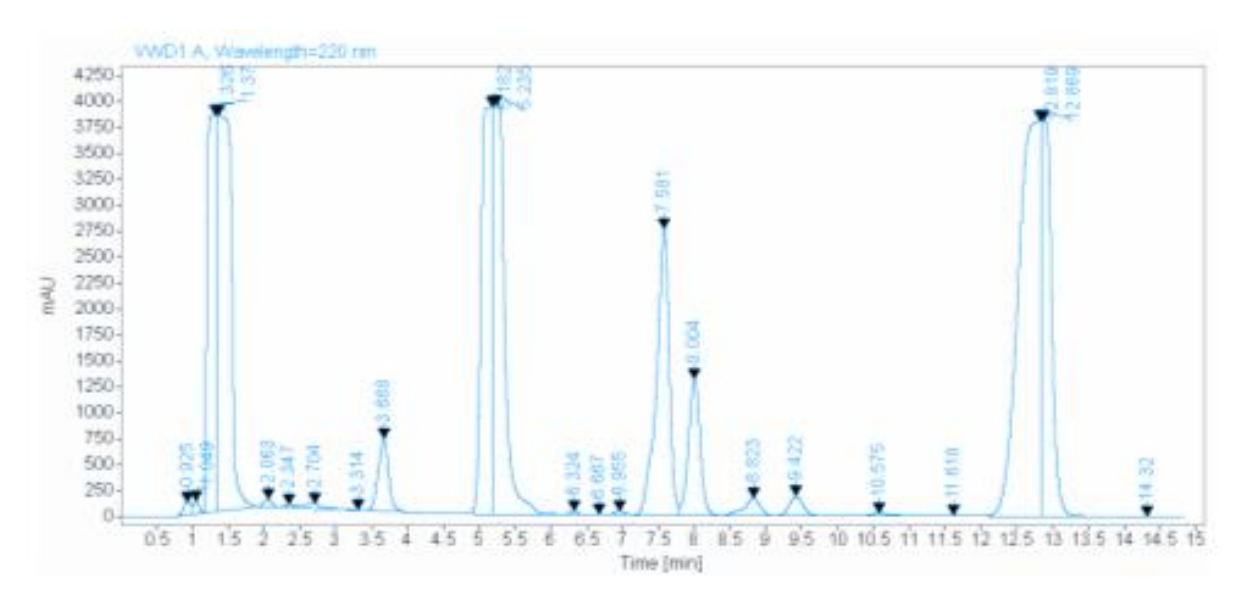


Рисунок 8 – реакционная смесь с катализатором (МБТ+H-ВАК-1), Н Φ : ZORBAX C₁₈ (100*4,8мм, 5 мкм), элюент: ацетонитрил:вода, соотношения 7:3, скорость потока 1-2мл, длина волны детектора 220 нм

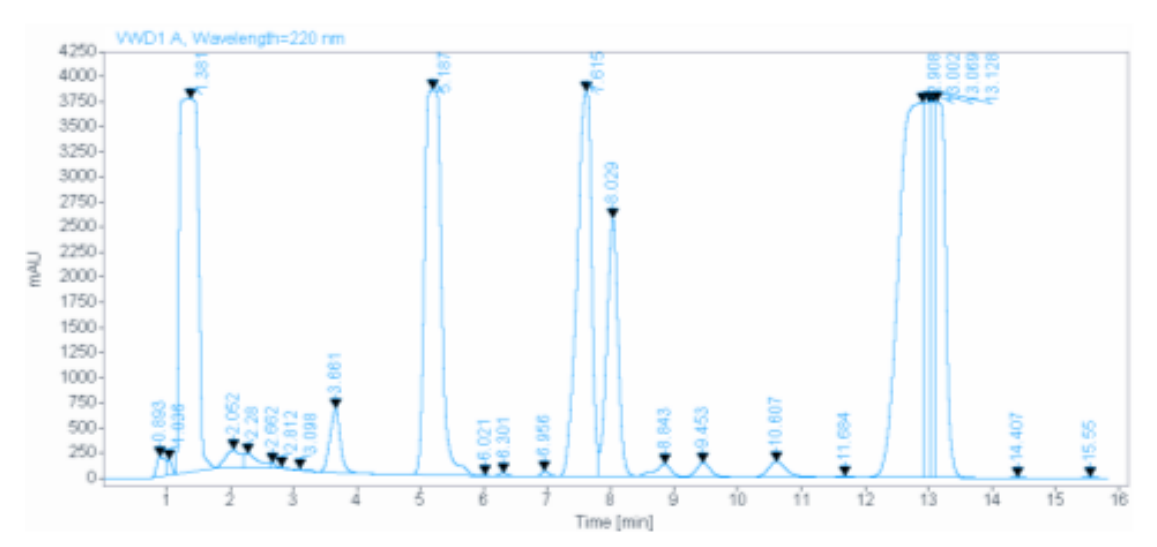


Рисунок 9 — реакционная смесь с катализатором (МБТ+H-BAK-1), Н Φ : ZORBAX С₁₈ (100*4,8мм, 5 мкм), элюент: ацетонитрил:вода, соотношения 7:3, скорость потока 1-2мл, длина волны детектора 220 нм

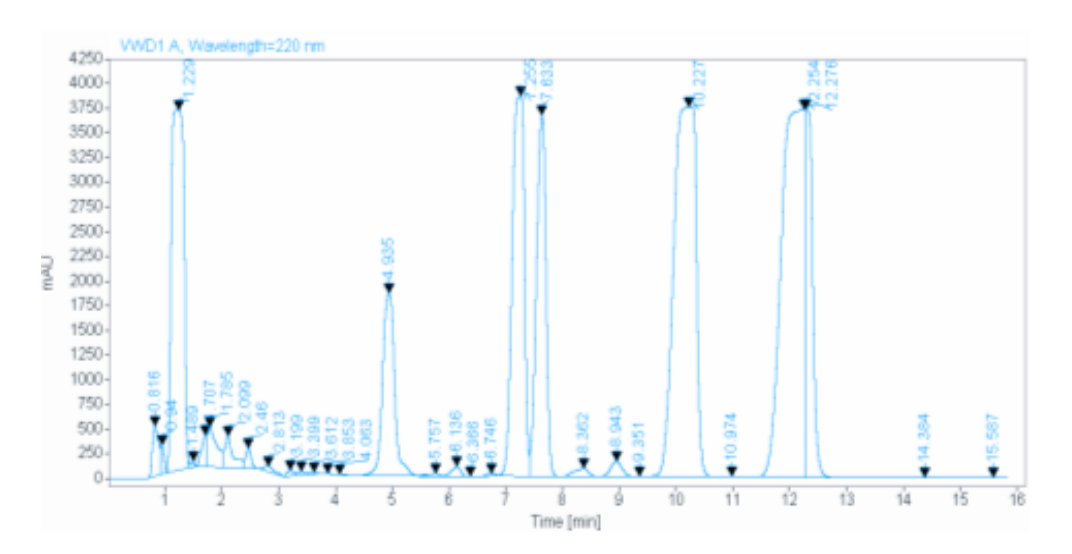


Рисунок 10 — реакционная смесь с катализатором МБТ+H-BAK-1), Н Φ : ZORBAX С₁₈ (100*4,8мм, 5 мкм), элюент: ацетонитрил:вода, соотношения 7:3, скорость потока 1-2мл, длина волны детектора 220 нм

Но через длительное время (через неделю), хроматограмма, снятая в данной системе без катализатора, (рисунок 11) идентична хроматограмме в системе с катализатором (рисунок 12).

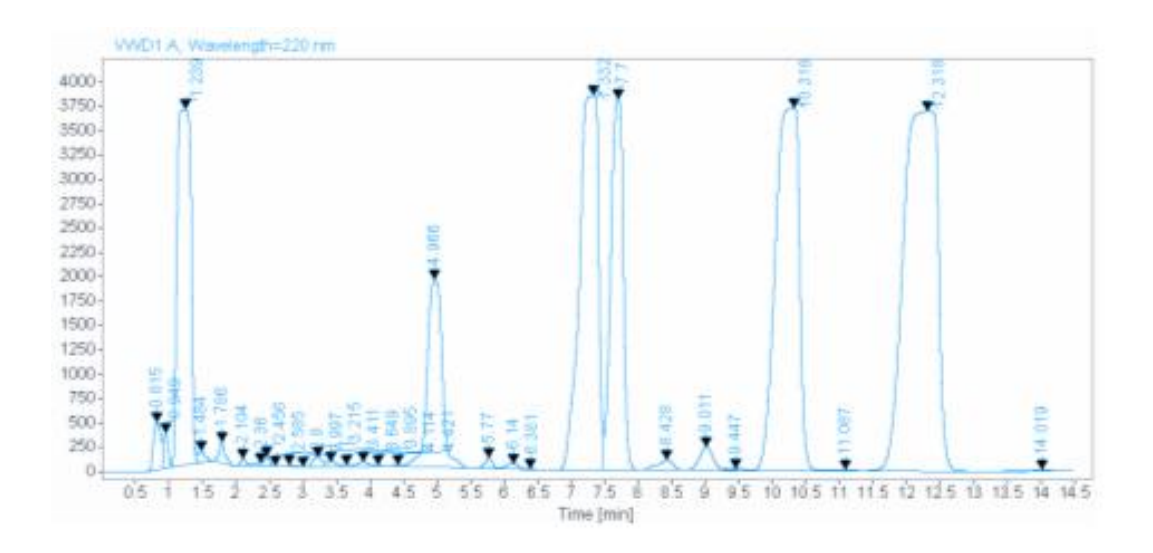


Рисунок 11 — реакционная смесь без катализатора (МБТ+H-ВАК-1), НФ: ZORBAX C_{18} (100*4,8мм, 5 мкм), элюент: ацетонитрил:вода, соотношения 7:3, скорость потока 1-2 мл, длина волны детектора 220, (Через неделю)

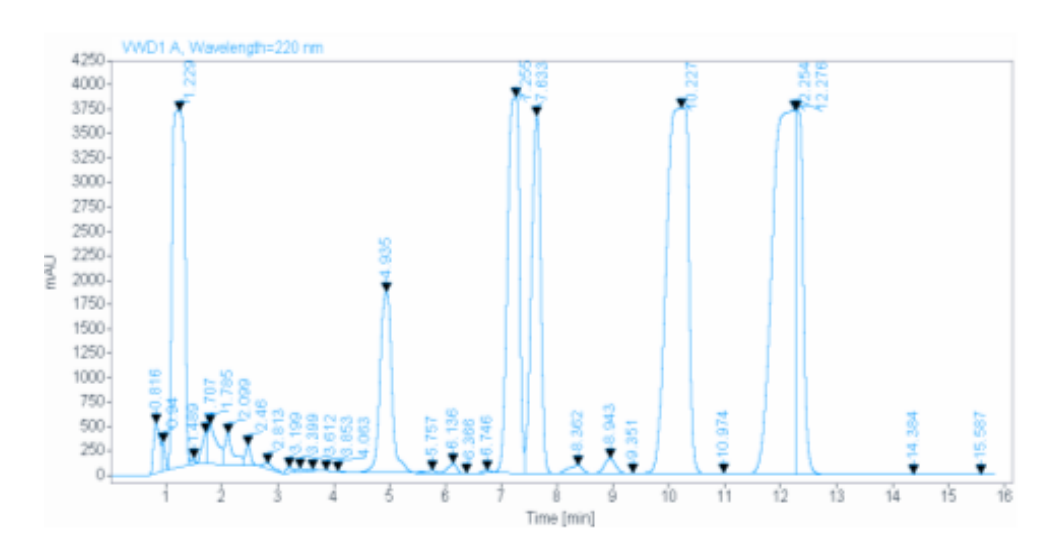


Рисунок 12 — реакционная смесь с катализатором (МБТ+H-ВАК-1), НФ: ZORBAX C_{18} (100*4,8мм, 5 мкм), элюент: ацетонитрил:вода, соотношения 7:3, скорость потока 1-2 мл, длина волны детектора 220 нм

Таким образом, по результатам ВЭЖХ анализа можно утверждать, что с катализатором реакции идет, безусловно, быстрее, но без добавления катализатора реакция также идет, но гораздо медленнее.

Так же в ходе хроматографического контроля был зафиксирован факт взаимного перехода продукта 3 и конечного фуранового производного. По всей видимости, продукт 3 является именно промежуточным продуктом, предшествующим синтезу основного. А продукты 1 и 2, скорее всего, побочные.

Препаративным путем, методом ВЭЖХ нами была предпринята попытка выделения проб реакционной смеси, содержащей продукты 1, 2 и 3. Образцы выделенных компонентов были переданы на ЯМР-спектроскопию, с них также были сняты ИК и масс-спектры. На рисунке 13 приведен ИК-спектр пробы 1, остальные ИК-спектры проб 2 и 3 приведены в Приложении (рисунки 1 и 2 Приложения).

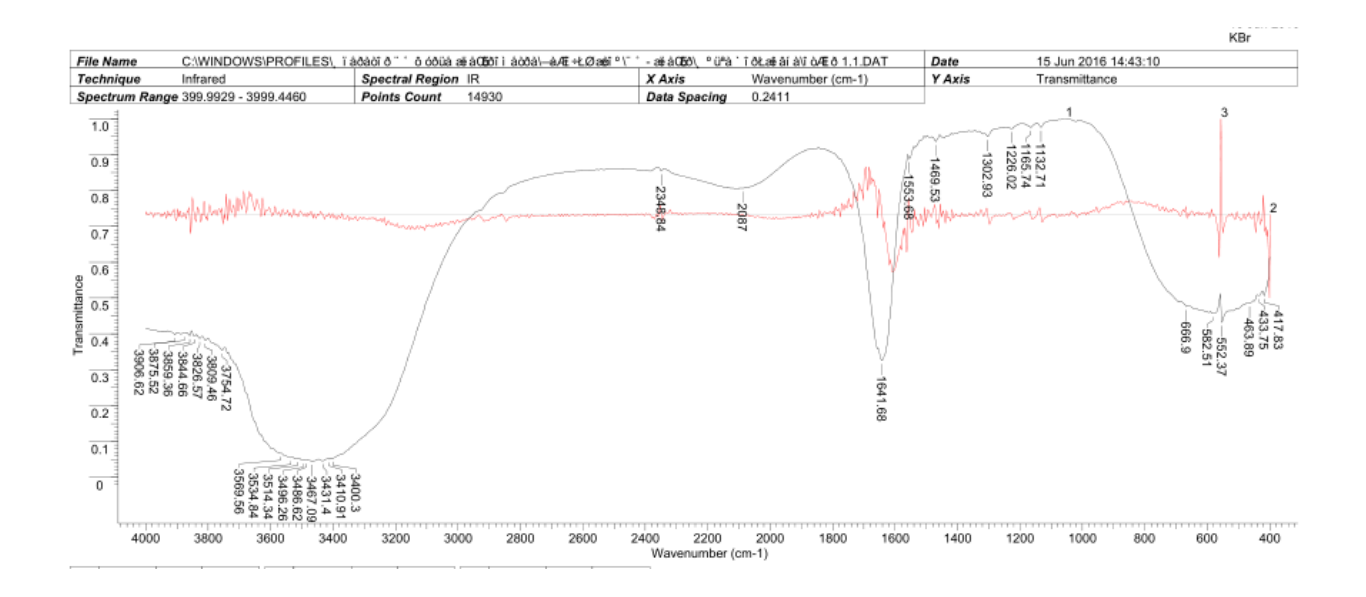


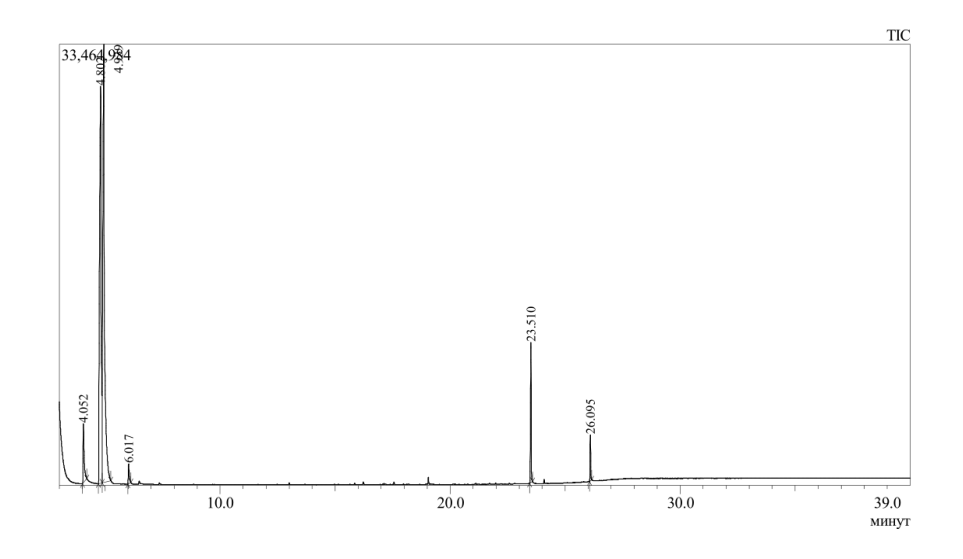
Рисунок 13 – ИК-спектр 1 пробы

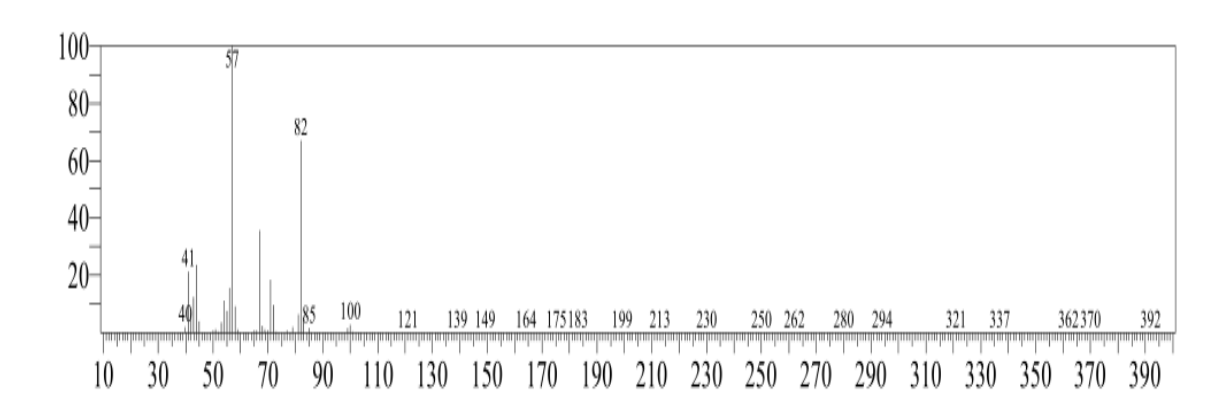
Небольшое количество вещества не позволяло выделить его из раствора, поэтому ИК-спектр снимали с раствора на таблетке КВг. Следы воды (характерная широкая полоса в области 3500-3400 см⁻¹) мешает визуализации спектра, но характерная полоса в области 1641 см⁻¹ соответствует кето-группе, сопряженной с системой кратных связей, которая отсутствует в итоговом фурановом продукте. Аналогичную полосу кетогруппы мы видим и на ИК-спектрах продуктов 2 и 3 (рисунки 1 и 2 Приложения), что также говорит нам о том, что в этих продуктах сохраняется еще группировка С=О, а вот полос, характерных для фуранового цикла (1100-1200 см⁻¹) еще не наблюдается.

На рисунке 14 приведены данные масс-спектрометрии для соединения 1. Как видно из масс-спектра, природа 1 соединения отлична от конечного продукта с молярной массой 398.

На рисунках 16 и 17 приведены масс-спектры продуктов 2 и 3, соответственно.

Все масс-спектрометрические данные подтверждают различную природу образующихся продуктов.





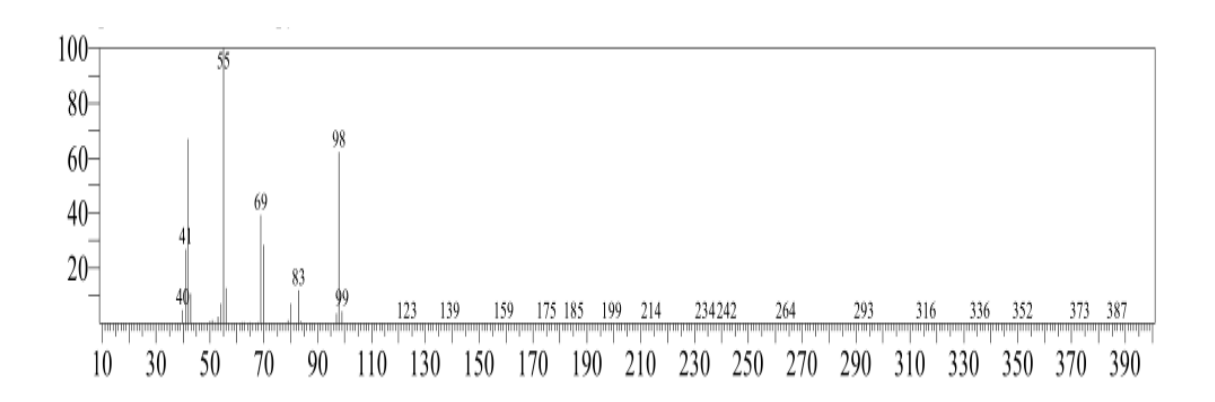
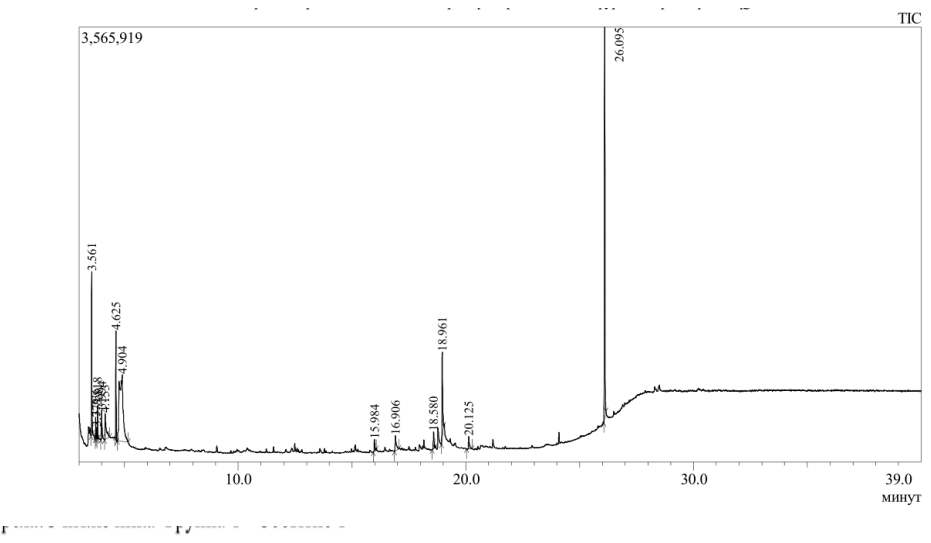


Рисунок 14 — Результаты масс-спектрометрического исследования 1 продукта



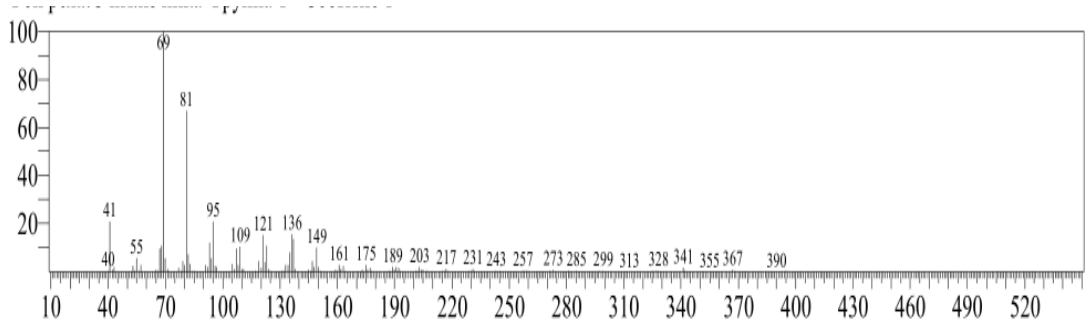
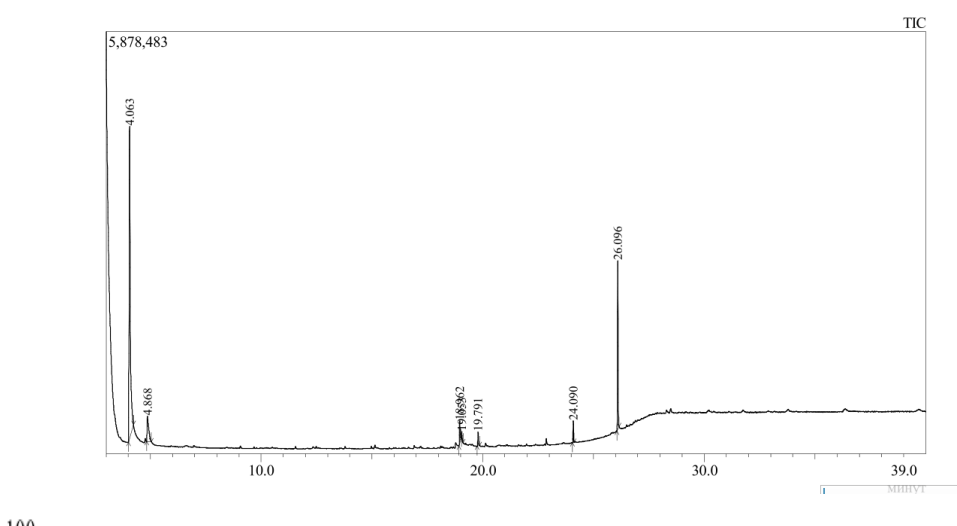


Рисунок 15 – Масс-спектр 2 продукта



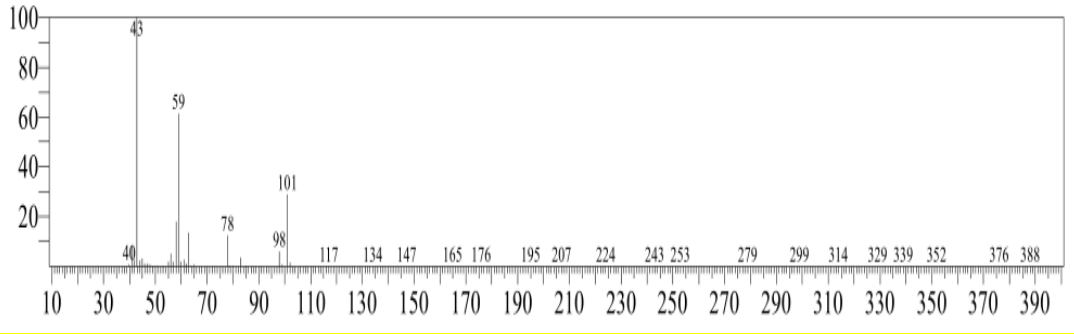


Рисунок 16 – Масс-спектр 3 продукта

Большую информацию о структуре этих соединений должны дать данные ЯМР спектроскопии. Установление структуры промежуточного продукта позволит, в том числе и предположить механизм реакции 2-меркаптобензатиазола с (E)-1,5-дифенилпент-2-ен-4-ин-1-оном.

ЗАКЛЮЧЕНИЕ

- 1. Были подобраны хроматографические условия для контроля реакции 2-меркаптобензатиазола и (E)-1,5-дифенилпент-2-ен-4-ин-1-она. Обнаружено, что наряду с основным фурановым производным, в системе образуется еще, по крайней мере, три продукта в сопоставимых концентрациях.
- 2. Анализ хроматографических данных позволил предположить, что, по всей видимости, продукт 3 является промежуточным в синтезе конечного продукта и обратимо с ним связанным, а 1 и 2 побочными.
- 3. Из ИК-спектров следует, что во всех трех продуктах еще сохраняется карбонильная группа и не наблюдается замыкания в фурановый цикл.
- 4. Масс-спектры также подтверждают образование трех разных продуктов, отличных от конечного производного фурана.
- 5. Выделенные препаративным путем методом ВЭЖХ пробы трех соединений переданы на ЯМР-спектроскопию.
- 6. Хроматографическим методом доказано, что реакция 2-меркаптобензатиазола с (E)-1,5-дифенилпент-2-ен-4-ин-1-оном протекает с образованием продукта и без катализатора, только это занимает большее время.

ЛИТЕРАТУРА

- 1. Кучеров, В.Ф. Природные полиацетиленовые соединения / В. Ф. Кучеров, М.В. Мавров, А.Р. Держинский. М. : Наука, 1972. С. 197-213, 303-332.
- 2. Activity of the botanical aphicides 1,5-diphenyl-1-pentanone and 1,5-diphenyl-2-penten-1-one on two species of Aphididnae / Р. Gao [и др.] // Pest Management Science. 57 (2001). С. 307-310.
- 3. Голованов, А. А. Оценка электрофильности 1,5-диарилпент-2-ен-4-ин-1-онов квантово-химическим методом / А. А. Голованов, В.В. Бекин, В.С. Писарева // Баш. хим. ж.. 1 (2012). С. 130-134.
- 4. 1,5-Диарил-1-пентен-4-ин-3-оны / Н. В. Утехина [и др.] // ЖОХ. 58 (1988). С. 692-698.
- 5. Total synthesis of (-)-salicylihalamide / A. Furstner [и др.] // Chem. Eur. J. 24 (2001). С. 5286-5298.
- 6. Bayer A. Synthesis of enamides from aldehydes and amides / A. Bayer, M.E. Maier // Tetrahedron. 60 (2004). C. 6665-6677.
- 7. Tang S. Synthesis and cytotoxicity of a salicylihalamide analogue / S. Tang, K. L. Erickson // Journal of Natural Products. 71 (2008). C. 898-901.
- 8. Большедворская Р. Л., Верещагин Л. И. Успехи химии α-ацетиленовых кетонов // Успехи химии. 1973. Т. 42. №. 3. С. 511-546.
- 9. Synthesis and pharmacological evaluation of new (E)- and (Z)-3-aryl-4-styryl-1H-pyrazoles as potential cannabinoid ligands / Silva V. L. [и др.] // Arkivoc. 10 (2010). С. 226-247.
- 10. Синтез и ацилирование 3-арил-5-(2-фенилэтинил)-4,5-дигидро-1н-пиразолов / А.А. Голованов [и др.] // Химия гетероциклических соединений. 11 (2013). С. 1818—1820.
- 11. Waldo J. P. Room Temperature ICl-Induced Dehydration/Iodination of 1-Acyl-5-hydroxy-4,5-dihydro-1H-pyrazoles. A Selective Route to Substituted 1-

- Acyl-4-iodo-1H-pyrazoles / Jesse P. Waldo, Saurabh Mehta, Richard C. Larock // J. Org. Chem. 73 (2008). C. 6666–6670.
- 12. Ботвинник Е. В., Бландов А. Н., Кузнецов М. А. Взаимодействие дибензальацетона и 1,5-дифенилпент-1-ен-4-ин-3-она с монозамещенными гидразинами // ЖОрХ. 2001. Т. 37. № 3. С. 446-450
- 13. Casey C. P. Furan Forming Reactions of cis-2-Alken-4-yn-1-ones / Charles P. Casey, Neil A. Strotman // J. Org. Chem. (70) 2005. C. 2576-2581.
- 14. Du X. New Synthetic Approach for the Construction of Multisubstituted 2-Acyl Furans by the IBX-Mediated Cascade Oxidation/Cyclization of cis-2-En-4-yn-1-ols (IBX=2-Iodoxybenzoic Acid) / Xiangwei Du, Haoyi Chen, and Yuanhong Liu // Chem. Eur. J. 14(2008). C. 9495 9498.
- 15. Synthesis and Pharmaceutical Properties of Antitumor 2-(4-Aminophenyl)benzothiazole Amino Acid Prodrugs / Ian Hutchinson [и др.] // J. Med. Chem. 45 (2002). С. 744–747.
- 16. Ionic liquid-promoted one-pot synthesis of thiazole—imidazo[2,1-b][1,3,4]thiadiazole hybrids and their antitubercular activity / Jurupula Ramprasad [и др.] // Med. Chem. Commun. 7 (2016). С. 338-344.
- 17. Design, synthesis and in vitro evaluation of benzothiazole-based ureas as potential ABAD/17β-HSD10 modulators for Alzheimer's disease treatment / Lukas Hroch [и др.] // Bioorganic and Medicinal Chemistry Letters. 2016.
- 18. Design, Synthesis and Biological Evaluation of Novel Rapamycin Benzothiazole Hybrids as mTOR Targeted Anti-cancer Agents / Lijun Xie [и др.] // Chemical and Pharmaceutical Bulletin. 64 (2016). С. 346-355.
- 19. Джоуль Дж., Милле К. Химия гетероциклических соединений. М.: Мир, 2004. 728с.
- 20. Unexpectedly ligand-free copper-catalyzed C–S cross-coupling of benzothiazole with aryl iodides in aqueous solution / Yi-Si Feng [μ др.] // Tetrahedron Letters. 53 (2012). C. 2914–2917.

- 21. Ranjit S. Direct Arylation of Benzothiazoles and Benzoxazoles with Aryl Boronic Acids / S. Ranjit, Liu X. // Chem. Eur. J. 17 (2011). C. 1105–1108.
- 22. Khemnar A. Iron catalyzed efficient synthesis of 2-arylbenzothiazoles from benzothiazole and olefins using environmentally benign molecular oxygen as oxidant / A. Khemnar, B. Bhanage // RSC Adv. 4 (2014). C. 8939–8942.
- 23. Design and Synthesis of 2-Acylbenzothiazoles via In Situ CrossTrapping Strategy from Benzothiazoles with Aryl Ketones / Q. Gao [и др.] // J. Org. Chem. 78 (2013). С. 2792–2797.
- 24. A cleavage reaction of benzothiazole with cyclic 1,3-dicarbonyls in the presence of potassium dihydrogen phosphate / Ayman Mohammed Yousif Suliman [и др.] // Journal of chemical research. 39 (2015). С. 657-660.
- 25. Nassiri M. A novel three-component reaction involving benzothiazole, dialkyl acethylenedicarboxylate and 1,3-dicarbonyl compounds or anthrone // Journal of chemical research. 3 (2012). C. 166–168.
- 26. Palladium–Catalyzed Regioselective C–H Bond Arylations of Benzoxazoles and Benzothiazoles at the C7 Position / F. Abdellaoui [и др.] // ACS Catal. 2016.
- 27. Degradation of 2-mercaptobenzothiazole in aqueous solution by gamma irradiation / Q. Bao [и др.] // Radiation Physics and Chemistry. 103 (2014). С. 198-202.
- 28. Heck reaction in ionic liquids catalyzed by a Pd-benzothiazole carbene complex / V. Calo [и др.] // Tetrahedron Letters. 41 (2000). С. 8973–8976.
- 29. Новый пример циклизации (E)-1,5-диарилпент-2-ен-4-ин-1-онов в функциональные производные фурана / А.А. Голованов [и др.] // Химия гетероциклических соединений. 51 (2015). С. 929–932.
- 30. Bequette W. Nonlinear control of chemical processes: a review // Ind. Eng. Chem. Res. 30 (1991). C. 1391–1413.
 - 31. Pure & Appl.Chem., Vol.65, No.4, pp. 819-872, 1993

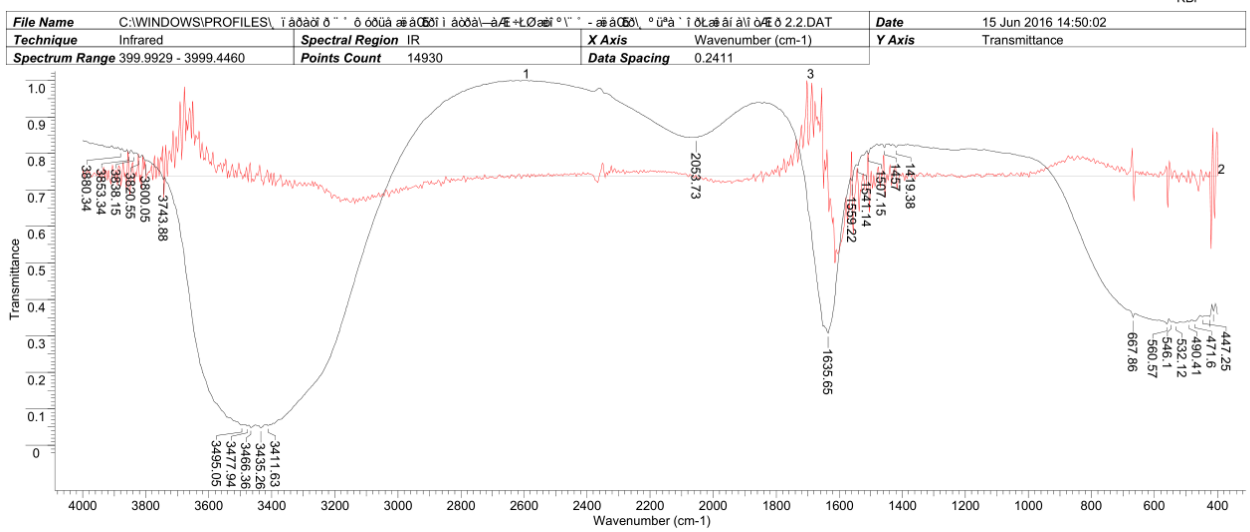
- 32. Mohammadi-Jam S. Inverse gas chromatography applications: A review / S. Mohammadi-Jam, K.E. Waters // Advances in Colloid and Interface Science. 212 (2014). C. 21-44.
- 33. Affinity monolith chromatography: a review of principles and recent analytical applications / L. Pfaunmiller [и др.] // Analytical and Bioanalytical Chemistry. 405 (2013). C. 2133-2145.
- 34. Dolowy M. Application of TLC, HPLC and GC methods to the study of amino acid and peptide enantiomers: a review / M. Dolowy, A. Pyka // Biomedical Chromatography. 28 (2014). C. 84-101.
- 35. Dong M. New HPLC Systems and Related Products Introduced at Pittcon 2016: A Brief Review // LCGC North America. 34 (2016). C. 262-273.
- 36. HPLC Separation of Aryldiamine Transformation Products using a PolarModified RP-C18 Column / K. Fischer [и др.] // Analytical Letters. 46 (2013). C. 2673-2689.
- 37. Nishino A. Analysis of reaction products of astaxanthin and its acetate with reactive oxygen species using LC/PDA ESI-MS and ESR spectrometry / A. Nishino, T. Maoka, H. Yasui // Tetrahedron Letters. 57 (2016). C. 1967–1970.
- 38. Study on products and reaction paths for synthesis of 3,4-dihydro-2H-3-phenyl-1,3-benzoxazine from phenol, aniline and formaldehyde / C. Zhang [и др.] // Chinese Chemical Letters. 26 (2015). С. 348-352.
- 39. Biocatalytic asymmetric aldol reaction in buffer solution / Z. Xie [и др.] // Tetrahedron Letters. 54 (2013). С. 945-948.
- 40. A validated HPLC method for the simultaneous determination of naftidrofuryl oxalate and its degradation product (metabolite), naftidrofuryl acid: applications to pharmaceutical tablets and biological samples / S. Sabry [μ др.] // Drug Testing and Analysis. 5 (2013). C. 500-508.
- 41. One-Pot Three-Component Approach to the Synthesis of Polyfunctional Pyrazoles / G. Zhang [и др.] // Org. Lett. 15 (2013). С. 5967–5969.
- 42. Эмануэль Н.М., Кузьмин М.Г. Экспериментальные методы химической кинетики. М.: Изд-во Моск. ун-та, 1985.— 384 с.

- 43. Ioannou A. Real Time Monitoring the Maillard Reaction Intermediates by HPLC- FTIR / A. Ioannou, C. Varotsis // J. Phys. Chem. Biophys. 2016.
- 44. Morin M. γ-Glutamyl transpeptidase acylation with peptidic substrates: free energy relationships measured by an HPLC kinetic assay / M. Morin, C. Rivard, J. W. Keillor // Org. Biomol. Chem. 4 (2006). C. 3790–3801.
- 45. Comparative degradation kinetic study of ester linkage of antiplatelet agent clopidogrel under alkaline stress condition by conventional method through acid hydrolysis by microwave and by RP-HPLC / K. Prajapati [и др.] // World journal of pharmacy and pharmaceutical sciences. 3 (2014). С. 1128-1145
- 46. Kinetic Study of the Degradation of Forskolin in Aqueous Systems by Stability-Indicating HPLC Method and Identification of Its Degradation Products / Y. Wang [и др.] // Journal of Liquid Chromatography & Related Technologies. 39 (2016).
- 47. Kinetic Study on the Isomerization of Perindopril by HPLC / S. Bouabdallah [и др.] // Chromatographia. 75 (2012). С. 1247-1255.
- 48. Гейсс Ф. Основы тонкослойной хроматографии (планарная хроматография) / Пер. с англ. М. А. Кошевник и Б. Н. Лапина, под ред. В. Г. Берёзкина. 1988. Т. 1.
- 49. Design, synthesis and biochemical studies of new 7a-allylandrostanes as aromatase inhibitors / C. Varela [и др.] // Steroids. 78 (2013). С. 662–669.
- 50. Controlled Trifluoromethylation Reactions of Alkynes through VisibleLight Photoredox Catalysis / N. Iqbal [и др.] // Angew. Chem. 126 (2014). С. 549 –552.
- 51. Бёккер Ю. Спектроскопия / Пер. с нем. Л. Н. Казанцевой, под ред. А. А. Пупышева, М. В. Поляковой. М.: Техносфера, 2009. 528 с.
- 52. Синтез новых антиоксидантов в реакции 2-(n-метиламид)-3-(3',5'-ди-трет-бутил-4'-гидроксифенил)-пропионовой кислоты в водном растворе хлористого водорода / А.А. Володькин // Вестник Казанского технологического университета. 7 (2013). С. 18-20.

- 53. Гюнтер X. Введение в курс спектроскопии ЯМР. Пер. с англ. М., 1984.
- 54. Copper-catalyzed synthesis of trifluoromethyl-substituted isoxazolines / Y. He $[\mu$ др.] // Chem. Commun. 49 (2013). C. 5687-5689.

ПРИЛОЖЕНИЕ А

15 Jun 2016 KBr



ПРИЛОЖЕНИЕ В

